

ОБЪЕДИНЕННЫЙ
ИНСТИТУТ
ЯДЕРНЫХ
ИССЛЕДОВАНИЙ
ДУБНА



14/61-76

Я-652

P4 - 9547

2195/2-76

Д.Янссен

КОГЕРЕНТНЫЕ СОСТОЯНИЯ
КВАНТОВОМЕХАНИЧЕСКОГО ВОЛЧКА

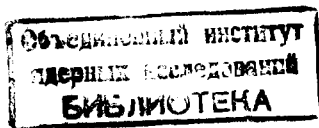
1976

P4 - 9547

Д. Янссен

КОГЕРЕНТНЫЕ СОСТОЯНИЯ
КВАНТОВОМЕХАНИЧЕСКОГО ВОЛЧКА

Направлено в ЯФ



1. ВВЕДЕНИЕ

1.1. Когерентные состояния гармонического осциллятора, их свойства и применение

Для многих задач квантовой механики многих тел оказалось очень удобным работать в базисе состояний, которые хотя и не ортогональны и линейно зависимы, но обладают тем свойством, что минимизируют произведения неопределенностей специфических для этой задачи канонически сопряженных операторов. Рассмотрим в качестве простейшего примера гармонический осциллятор

$$H = \frac{1}{2} \hat{p}^2 + \frac{1}{2} x^2; \quad \hat{p} = -i \frac{d}{dx} \quad (\hbar = 1) \quad /1a/$$

$$[\hat{p}, x] = -i. \quad /1b/$$

Дискретный спектр этого гамильтониана и квантовомеханические свойства осциллятора связаны с некоммутативностью операторов импульса \hat{p} и координаты x . Соответствующее произведение неопределенностей имеет следующий вид:

$$\langle (\Delta \hat{p})^2 \rangle \langle (\Delta x)^2 \rangle \geq \frac{1}{4}, \quad /2/$$

где

$$\Delta \hat{A} = \hat{A} - \langle \Psi | \hat{A} | \Psi \rangle; \quad \langle (\Delta \hat{A})^2 \rangle = \langle \Psi | (\Delta \hat{A})^2 | \Psi \rangle$$

и Ψ - произвольная волновая функция. Левую часть /2/ минимизирует следующая волновая функция, построенная из собственных функций гамильтониана /1/:

$$|a\rangle = e^{-\frac{|a|^2}{2}} \sum_{n=0}^{\infty} \frac{a^n}{\sqrt{n!}} |n\rangle = e^{-\frac{1}{2}|a|^2} a b^+ |0\rangle$$

$$(b^+ = \frac{1}{\sqrt{2}}(x - i\hat{p})). \quad /3/$$

Здесь $|n\rangle$ - собственная нормированная функция гармонического осциллятора и a - произвольное комплексное число. Такой набор когерентных состояний /3/ является переполненным и неортогональным. Он впервые был найден Шредингером /1/ и нашел широкое применение при квантовомеханическом описании когерентных источников света /2/, а также использовался при исследовании сверхпроводимости, сверхтекучести /3/ и фононов в кристаллах /4/. Отметим еще одно важное свойство когерентных состояний /3/. Если мы напишем уравнения движения в представлении Гейзенберга и усредним их в базисе когерентных состояний, то получим с помощью /1/, /3/

$$i \frac{d}{dt} \langle a | x | a \rangle = \langle a | [x, H] | a \rangle = i \langle a | \hat{p} | a \rangle$$

$$i \frac{d}{dt} \langle a | \hat{p} | a \rangle = \langle a | [\hat{p}, H] | a \rangle = -i \langle a | x | a \rangle$$

$$\langle a | x | a \rangle = A_0 \sin(t - t_0); \quad \langle a | \hat{p} | a \rangle = A_0 \cos(t - t_0), \quad /4/$$

т.е. средние значения операторов импульса и координаты изменяются во времени как соответствующие классические величины.

1.2. Понятия когерентных состояний, обобщенные Переломовым, и когерентные спиновые состояния

После успешного применения когерентных состояний типа /3/ были сделаны многочисленные попытки обобщить понятия "когерентных состояний" на случай более сложных, чем /1/, коммутационных соотношений, т.е. на случай более сложной алгебры. В этой работе мы будем использовать только результаты Переломова /5/. Пусть G - произвольная группа Ли и T - ее неприводимое унитарное представление, действующее в гильбертовом пространстве \mathcal{H} . Если $|\Psi_0\rangle$ - определенный элемент этого пространства, то все элементы h группы G , удовлетворяющие уравнению

$$T(h) |\Psi_0\rangle = e^{i\lambda(h)} |\Psi_0\rangle,$$

образуют стационарную подгруппу H группы G относительно $|\Psi_0\rangle$. Если мы обозначим $|\Psi_{g(x)}\rangle = T(g(x)) |\Psi_0\rangle$, где $g(x)$ - один из представителей всех элементов группы G , для которых векторы $|\Psi_g\rangle = T(g) |\Psi_0\rangle$ отличаются друг от друга только фазовым фактором, то Переломов называет $|\Psi_{g(x)}\rangle$ набором когерентных состояний этой группы. Это определение содержит, как частный случай, когерентные состояния /3/ гармонического осциллятора. В случае простой компактной группы $SU(2)$, выбирая в качестве $|\Psi_0\rangle$ состояние с минимальной проекцией спина на z -оси, мы получаем

$$|a\rangle = \sum_M \sqrt{\frac{(2S)!}{(S-M)!(S+M)!}} a^{S+M} |SM\rangle (1+|a|^2)^{-S} =$$

$$= (1+|a|^2)^{-S} \exp(a\hat{S}_+) |S-S\rangle. \quad /5/$$

Здесь $\hat{S}_+ = \hat{S}_x + i\hat{S}_y$, $\hat{S}_x, \hat{S}_y, \hat{S}_z$ - генераторы $SU(2)$, S - полный спин рассматриваемой системы. Эти состояния, названные когерентными спиновыми состояниями, были впервые найдены Радклиффом /6/ и использовались в работах /7/.

Легко показать, что в случае $|a| \ll S$ \hat{S}_+ можно заменить оператором b^+ , и выражения /5/ и /3/ совпадут. Хотя определение Переломовым когерентных состояний в случае гармонического осциллятора и в случае группы SU(2) оказалось полезным, оно не позволяет построить однозначным образом набор когерентных состояний в случае несимметричного волчка.

2. ОПРЕДЕЛЕНИЕ КОГЕРЕНТНЫХ СОСТОЯНИЙ КВАНТОВОМЕХАНИЧЕСКОГО НЕСИММЕТРИЧНОГО ВОЛЧКА

2.1. Представление когерентных состояний

Гамильтониан несимметричного волчка имеет следующий вид:

$$H = A_x L_x^2 + A_y L_y^2 + A_z L_z^2 \quad (A_x \neq A_y \neq A_z) \quad /6/$$

и коммутирует с квадратом оператора полного углового момента $\hat{L}^2 = L_x^2 + L_y^2 + L_z^2 = J^2$ и с операторами J_x , J_y и J_z . Здесь L_i ($i=x, y, z$) - проекции оператора углового момента на оси внутренней системы координат, а J_i - проекции того же оператора на оси лабораторной системы координат. Поэтому волновую функцию гамильтониана /6/ можно записать следующим образом:

$$\Psi_a^{IM} = \sum_K C_K^{Ia} |IMK\rangle, \quad /7/$$

где $|IMK\rangle$ - собственные состояния операторов \hat{L}^2 , L_z и J_z с собственными значениями $I(I+1)$, K и M . Совокупность состояний $|IMK\rangle$ образует неприводимое представление полупрямого произведения группы $SU(2) \times SU(2)$ и левой группы. Операторы L_i , J_i и $T_{\mu\nu}^{1/2} (\mu, \nu = \pm \frac{1}{2})$ являются генераторами этого произведения и выполняют следующие коммутационные соотношения

$$[L_i, L_k] = i\epsilon_{ikl} L_l, \quad [J_i, J_k] = i\epsilon_{ikl} J_l, \quad [L_i, J_l] = 0$$

$$[T_{\mu\nu}^{1/2}, T_{\mu'\nu'}^{1/2}] = 0, \quad [L_z, T_{\mu\nu}^{1/2}] = \nu T_{\mu\nu}^{1/2}, \quad [L_{\pm}, T_{\mu\nu}^{1/2}] = \sqrt{\left(\frac{1}{2} \mp \nu\right) \left(\frac{3}{2} \pm \nu\right)} T_{\mu\nu \pm 1/2}^{1/2} \quad /8/$$

$$[J_z, T_{\mu\nu}^{1/2}] = \mu T_{\mu\nu}^{1/2}, \quad [J_{\pm}, T_{\mu\nu}^{1/2}] = \sqrt{\left(\frac{1}{2} \mp \mu\right) \left(\frac{3}{2} \pm \mu\right)} T_{\mu \pm 1/2, \nu}^{1/2},$$

$$L_{\pm} = L_x \pm iL_y, \quad J_{\pm} = J_x \pm iJ_y. \quad /9/$$

Поскольку собственные состояния /7/ гамильтониана /6/ определены с помощью трех квантовых чисел, то каждый элемент набора когерентных состояний должен быть обозначен тремя комплексными числами, скажем x , y и z . Если мы предполагаем, что когерентные состояния волчка для $x=z=0$ состоят из состояний $|I-I-I\rangle$, аналогично тому, как когерентные состояния гармонического осциллятора - из состояний $|n\rangle$, то получаем:

$$|x=0, y, z=0\rangle = \sum_{I=0, \frac{1}{2}, 1} \frac{1}{\sqrt{(2I)!}} y^{2I} |I-I-I\rangle e^{-\frac{1}{2}|y|^2}. \quad /10/$$

Вспоминая, что в случае SU(2) когерентные состояния можно получить, действуя с оператором e^{aS_+} на состояния с минимальной проекцией спина, мы определяем когерентные состояния волчка следующим образом:

$$|xyz\rangle = \exp\left(-\frac{1}{2}yy^*(1+xx^*)(1+zz^*)\right) e^{xJ_+} e^{zL_+} \times \sum_I \frac{y^{2I}}{\sqrt{(2I)!}} |I-I-I\rangle$$

$$|xyz\rangle = \exp\left(-\frac{1}{2}yy^*(1+xx^*)(1+zz^*)\right) e^{xJ_+} e^{zL_+} \times$$

$$\times e^{y \sqrt{2\hat{I}+1} T_{-\frac{1}{2}}^{\frac{1}{2}} |000\rangle} \quad /11/$$

$$|xyz\rangle = \exp\left(-\frac{1}{2} yy^*(1+xx^*)(1+zz^*)\right) \times$$

$$\times \sum_{\text{IMK}} \sqrt{\frac{(2I)!}{(I+M)!(I-M)!(I+K)!(I-K)!}} x^{I+M} y^{2I} z^{I+K} |IMK\rangle,$$

где оператор \hat{I} определен уравнением

$$\hat{I} |IMK\rangle = I |IMK\rangle. \quad /12/$$

Для интеграла перекрытия двух когерентных состояний получаем

$$\langle xyz | x'y'z'\rangle = \exp\left\{y^*y'(1+xx^*)(1+zz^*) - \frac{1}{2}yy^*(1+xx^*) \times \right. \\ \left. \times (1+zz^*) - \frac{1}{2}y'y'^*(1+xx'^*)(1+z'z'^*)\right\}. \quad /13/$$

Используя равенство

$$\frac{1}{\pi^3} \int dx dz \int dy [x^m x^{*m'} y^n y^{*n'} z^\ell z^{*\ell'} \exp\{-yy^*(1+xx^*) \times \\ \times (1+zz^*)\} \times yy^* \times (yy^* \times (1+xx^*)(1+zz^*) - 1)] = \\ = \delta_{mm'} \delta_{nn'} \delta_{\ell\ell'} \frac{m! \ell! (n-m)! (n-\ell)!}{n!} \quad /14/$$

$$dx \equiv d\text{Re}(x) d\text{Im}(x), \quad dy \equiv d\text{Re}(y) d\text{Im}(y), \quad dz \equiv d\text{Re}(z) d\text{Im}(z),$$

единичный оператор можем написать следующим образом:

$$\hat{E} = \sum_{\text{IMK}} |IMK\rangle \langle IMK| = \int dx dz \int dy \frac{1}{\pi^3} yy^* (yy^*(1+xx^*)(1+zz^*) - \\ - 1) \times |xyz\rangle \langle xyz|. \quad /15/$$

Базисные состояния $|IMK\rangle$ можно разлагать в ряд по когерентным состояниям

$$|IMK\rangle = \frac{1}{\pi^3} \int dx dz \int dy \exp\left\{-\frac{1}{2}yy^*(1+xx^*)(1+zz^*)\right\} \times \\ \times yy^* (yy^*(1+xx^*)(1+zz^*) - 1) x^{I+M} y^{*2I} z^{I+K} \times \\ \times \sqrt{\frac{(2I)!}{(I-M)!(I+M)!(I-K)!(I+K)!}} |xyz\rangle. \quad /16/$$

Уравнения /15/ и /16/ доказывают, что когерентные состояния $|xyz\rangle$ представляют собой полный набор состояний, эквивалентный набору $|IMK\rangle$.

В заключение этого раздела мы приведем формулы для средних значений операторов /8/, /9/, /12/ в базе когерентных состояний. Эти выражения легко проверяемы и потребуются нам в дальнейшем

$$\langle xyz | L_x | xyz \rangle = \frac{z+z^*}{1+zz^*} \langle xyz | \hat{I} | xyz \rangle;$$

$$\langle xyz | L_x^2 | xyz \rangle = \langle xyz | L_x | xyz \rangle^2 + \frac{1}{2} \langle xyz | \hat{I} | xyz \rangle$$

$$\langle xyz | L_y | xyz \rangle = \frac{i(z-z^*)}{1+zz^*} \langle xyz | \hat{I} | xyz \rangle;$$

$$\langle xyz | L_y^2 | xyz \rangle = \langle xyz | L_y | xyz \rangle^2 + \frac{1}{2} \langle xyz | \hat{I} | xyz \rangle$$

$$\langle xyz | L_z | xyz \rangle = \frac{zz^* - 1}{1 + zz^*} \langle xyz | \hat{I} | xyz \rangle ;$$

$$\langle xyz | L_z^2 | xyz \rangle = \langle xyz | L_z | xyz \rangle^2 + \frac{1}{2} \langle xyz | \hat{I} | xyz \rangle \quad /17/$$

$$\langle xyz | L_i L_k | xyz \rangle + \langle xyz | L_k L_i | xyz \rangle =$$

$$= 2 \langle xyz | L_i | xyz \rangle \langle xyz | L_k | xyz \rangle \quad (i \neq k = x, y, z)$$

$$\langle xyz | \hat{I} | xyz \rangle = \frac{1}{2} yy^* (1 + xx^*) (1 + zz^*). \quad /18/$$

Аналогичные выражения для операторов J_x, J_y, J_z можно получить, заменяя в /17/, /18/ z на x . Для оператора $T_{\mu\nu}^{1/2}$ получаем:

$$\langle xyz | T_{1/2, 1/2}^{1/2} | xyz \rangle = (y + y^* x^* z^*) \sum_I \frac{(yy^* (1 + xx^*) (1 + zz^*))^{2I}}{(2I)! \sqrt{2I+2}} \times$$

$$\times \exp\{-yy^* (1 + xx^*) \times (1 + zz^*)\}$$

$$\langle xyz | T_{1/2, -1/2}^{1/2} | xyz \rangle = (x^* y^* - zy) \sum_I \frac{(yy^* (1 + xx^*) (1 + zz^*))^{2I}}{(2I)! \sqrt{2I+2}} \times$$

$$\times \exp\{-yy^* (1 + xx^*) \times (1 + zz^*)\} \quad /19/$$

$$\langle xyz | T_{-1/2, -1/2}^{1/2} | xyz \rangle = \langle xyz | T_{1/2, 1/2}^{1/2} | xyz \rangle^* ;$$

$$\langle xyz | T_{-1/2, 1/2}^{1/2} | xyz \rangle = \langle xyz | T_{1/2, -1/2}^{1/2} | xyz \rangle^* .$$

2.2. Интерпретация параметров когерентных состояний

Вводя угловые переменные $\alpha, \beta, \gamma, \theta, \phi$ и радиальную переменную r

$$x = -e^{-i\alpha} \tan \frac{\beta}{2}, \quad z = -e^{-i\phi} \tan \frac{\theta}{2},$$

$$y = \sqrt{2r} \cos \frac{\beta}{2} \cos \frac{\theta}{2} e^{\frac{i}{2}(\alpha + \gamma + \phi)},$$

/20/

мы можем записать когерентное состояние /11/ следующим образом:

$$|xyz\rangle = |\alpha\beta\gamma\theta\phi r\rangle = \hat{R}_J(\alpha, \beta, \gamma) \hat{R}_L(\phi, \theta, 0) e^{-r} \times$$

$$\times \sum_I \frac{(2r)^I}{\sqrt{(2I)!}} |I-1-1\rangle =$$

$$= \sum_{\text{МК}} D_{\text{М}-1}^I(\alpha\beta\gamma) D_{\text{К}-1}^I(\phi, \theta, 0) \frac{(2r)^I}{\sqrt{(2I)!}} |I-\text{МК}\rangle e^{-r},$$

где $\hat{R}_J(\alpha, \beta, \gamma) = e^{-i\alpha \hat{J}_z} e^{-i\beta \hat{J}_y} e^{-i\gamma \hat{J}_z}$; $D_{\text{МК}}^I$ - функция Вигнера. Из /17/, /18/, /20/ следует ($|xyz\rangle \equiv |\alpha\beta\gamma\theta\phi r\rangle \equiv |\text{ког}\rangle$)

$$\langle \text{ког.} | L_x | \text{ког.} \rangle = -r \cos \phi \cos \theta,$$

$$\langle \text{ког.} | J_x | \text{ког.} \rangle = -r \cos \alpha \sin \beta$$

$$\langle \text{ког.} | L_y | \text{ког.} \rangle = -r \sin \phi \sin \theta,$$

$$\langle \text{ког.} | J_y | \text{ког.} \rangle = -r \sin \alpha \sin \beta \quad /21/$$

$$\langle \text{ког.} | L_z | \text{ког.} \rangle = -r \cos \theta, \quad \langle \text{ког.} | J_z | \text{ког.} \rangle = -r \cos \beta$$

$$\begin{aligned} \langle \text{ког.} | \hat{I} | \text{ког.} \rangle &= r, \quad \langle \text{ког.} | L_x^2 + L_y^2 + L_z^2 | \text{ког.} \rangle = \\ &= \langle \text{ког.} | J_x^2 + J_y^2 + J_z^2 | \text{ког.} \rangle = r \left(r + \frac{3}{2} \right). \end{aligned}$$

Видно, что параметр r - это среднее значение оператора углового момента в базисе когерентных состояний, т.е. абсолютная величина вектора \vec{J} . Углы ϕ и θ определяют направление этого вектора во внутренней, углы α и β - в лабораторной системе координат. Они также определяют положение внутренней системы координат относительно лабораторной системы с точностью до поворота вокруг оси вектора углового момента. Чтобы однозначно фиксировать положение внутренней системы координат, нужен еще один угол γ , который содержится в комплексном числе y . Для среднего значения операторов $T_{\mu\nu}^{1/2}$ из /19/, /20/ следует:

$$\langle \text{ког.} | T_{\mu\nu}^{1/2} | \text{ког.} \rangle = D_{\mu\nu}^{1/2}(a'', \beta'', \gamma'') \sqrt{2r} e^{-2r} \sum_I \frac{(2r)^{2I}}{(2I)! \sqrt{2I+2}}$$

$$D_{\mu\nu}^{1/2}(a'', \beta'', \gamma'') = \sum_{\rho} D_{\mu\rho}^{1/2}(-a, \beta, -\gamma) D_{\rho\nu}^{1/2}(0, -\theta, -\phi) \quad /22/$$

и для интеграла перекрытия двух когерентных состояний мы получаем:

$$\begin{aligned} \langle a\beta\gamma\theta\phi r | a'\beta'\gamma'\theta'\phi'r' \rangle &= \exp\{2\sqrt{rr'}(\cos\frac{\beta}{2}\cos\frac{\theta}{2} \times \\ &\times e^{\frac{i}{2}(\bar{a}+\bar{\gamma}+\bar{\phi})} - 1)\}, \quad /23/ \end{aligned}$$

причем \bar{a} , $\bar{\beta}$, $\bar{\gamma}$, $\bar{\phi}$, $\bar{\theta}$ определены с помощью следующего уравнения:

$$\hat{R}_J(\bar{a}, \bar{\beta}, \bar{\gamma}) = \hat{R}_J(-\gamma, -\beta, -a) \hat{R}_J(a', \beta', \gamma')$$

$$\hat{R}_L(\bar{\phi}, \bar{\theta}, 0) = \hat{R}_L(0, -\theta, -\phi) \hat{R}_L(\phi', \theta', 0). \quad /24/$$

2.3. Бозонное представление операторов в базисе когерентных состояний

Бозонное представление операторов $T_{\mu\nu}^{1/2}$, J_i , L_i рассматривалось подробно в работе /8/. Здесь мы получим представление для этих операторов в базисе когерентных состояний /11/ с помощью дифференциальных операторов d/dx , d/dy и d/dz . Это представление отличается от представления /8/ тем, что в /8/ рассматривалось пространство состояний, отличных от $|xyz\rangle$. Используя /8/, /16/, мы получаем, например, для оператора J_z

$$J_z |IMK\rangle = M |IMK\rangle$$

$$= \int dx dz \int dy y y^* (y y^* (1+x x^*) (1+z z^*) - 1) \times$$

$$\times \left(x^* \frac{d}{dx^*} - \frac{1}{2} y^* \frac{d}{dy^*} \right) \times x^{*I} y^{*2I} z^{*I} K \times$$

$$\times \sqrt{\frac{(2I)!}{(I-M)!(I+M)!(I-K)!(I+K)!}} |xyz\rangle \times$$

$$\times \exp\left(-\frac{1}{2} y y^* (1+x x^*) (1+z z^*)\right). \quad /25/$$

Из /11/, /14/, /25/ следует:

$$J_z |IMK\rangle = \int dx dz \int dy y y^* (y y^* (1+x x^*) (1+z z^*) - 1) \times \\ \times x^{*I+M} y^{*2I} z^{*I+K} \sqrt{\frac{(2I)!}{(I-M)!(I+M)!(I-K)!(I+K)!}} \times \\ \times \exp\left(-\frac{1}{2} y y^* (1+x x^*) (1+y y^*)\right) \left(x \frac{d}{dx} - \frac{1}{2} y \frac{d}{dy}\right) |xyz\rangle, \quad /26/$$

т.е. в базе когерентных состояний $|xyz\rangle$ J_z действует как оператор $x \frac{d}{dx} - \frac{1}{2} y \frac{d}{dy}$. Аналогичным образом для операторов J_i, L_i и $T_{\mu\nu}^{1/2}$ мы получаем: $\hat{I} = y \frac{d}{dy}$

$$L_z = z \frac{d}{dz} - \frac{1}{2} \hat{I}; \quad L_+ = \frac{d}{dz}, \quad L_- = z \left(\hat{I} - z \frac{d}{dz}\right)$$

$$J_z = x \frac{d}{dx} - \frac{1}{2} \hat{I}; \quad J_+ = \frac{d}{dx}; \quad L_+ = x \left(\hat{I} - x \frac{d}{dx}\right)$$

$$T_{1/2 1/2}^{1/2} = y \frac{1}{\sqrt{2+\hat{I}}} + \frac{1}{(1+\hat{I})^2 \sqrt{1+\hat{I}}} \frac{d}{dx} \frac{d}{dy} \frac{d}{dz} \quad /27/$$

$$T_{-1/2 -1/2}^{1/2} = xyz \frac{1}{\sqrt{2+\hat{I}}} + \frac{1}{(1+\hat{I})^2 \sqrt{1+\hat{I}}} xz \frac{d}{dx} \frac{d}{dy} \frac{d}{dz} -$$

$$- \frac{1}{(1+\hat{I}) \sqrt{2+\hat{I}}} \left(z \frac{d}{dz} + x \frac{d}{dx}\right) \frac{d}{dy} + \frac{1}{\sqrt{2+\hat{I}}} \frac{d}{dy}$$

$$T_{1/2 -1/2}^{1/2} = zy \frac{1}{\sqrt{2+\hat{I}}} + \frac{z}{(1+\hat{I})^2 \sqrt{2+\hat{I}}} \frac{d}{dy} \frac{d}{dx} \frac{d}{dz} - \quad /28/$$

$$- \frac{1}{(1+\hat{I}) \sqrt{2+\hat{I}}} \frac{d}{dy} \frac{d}{dx}$$

$$T_{-1/2 1/2}^{1/2} = xy \frac{1}{\sqrt{2+\hat{I}}} + \frac{x}{(1+\hat{I})^2 \sqrt{2+\hat{I}}} \frac{d}{dy} \frac{d}{dx} \frac{d}{dz} - \\ - \frac{1}{(1+\hat{I}) \sqrt{2+\hat{I}}} \frac{d}{dy} \frac{d}{dz}$$

Здесь $J_{\pm} = J_x \pm iJ_y, L_{\pm} = L_x \pm iL_y$. Можно показать, что операторы /27/, /28/ удовлетворяют коммутационным отношениям /8/, /9/ и в пространстве состояний $|xyz\rangle$ с единичным оператором /15/ имеет место следующее равенство:

$$(J_+)^+ = J_-, \quad (L_+)^+ = L_-, \quad J_z^+ = J_z, \quad L_z^+ = L_z$$

$$T_{1/2 1/2}^+ = T_{-1/2 -1/2}^{1/2}, \quad (T_{1/2 -1/2}^{1/2})^+ = -T_{-1/2 1/2}^{1/2} \quad /29/$$

Уравнение /27/ представляет собой обобщение бозонного представления Дайсона /9/ для полупрямого произведения группы $SU(2) \times SU(2)$ и абелевой группы. Если мы введем вместо z новую переменную $\bar{z} = z \cdot y$, то с помощью /27/ получаем

$$L_z = \frac{1}{2} \left(\bar{z} \frac{d}{d\bar{z}} - y \frac{d}{dy}\right), \quad L_+ = y \frac{d}{d\bar{z}}, \quad L_- = \bar{z} \frac{d}{dy}, \quad /30/$$

а заменяя $\bar{z} \rightarrow b^+, \frac{d}{d\bar{z}} \rightarrow b^-, y \rightarrow a^+, \frac{d}{dy} \rightarrow a^-$, мы убедимся, что /30/ совпадает с бозонным представлением Швингера /10/ для оператора углового момента.

3. ФИЗИЧЕСКИЕ СВОЙСТВА КОГЕРЕНТНЫХ СОСТОЯНИЙ ВОЛЧКА

3.1. Произведение неопределенностей

Поскольку найденный нами набор состояний $|xyz\rangle$ является набором когерентных состояний гамильтониана /6/, этот набор должен минимизировать произведение неопределенностей тех операторов, коммутативность которых однозначно определяет дискретный спектр гамильтониана волчка /6/. В этой задаче некоммутативность разных компонент оператора углового момента L_i играет ту же роль, что и некоммутативность операторов координаты и импульса в случае гармонического осциллятора. Определим оператор $\Delta L_i = L_i - \langle \text{ког.} | L_i | \text{ког.} \rangle$. С помощью неравенства Шварца для произведения неопределенностей в значении разных компонент оператора углового момента получаем

$$\begin{aligned} & \langle \text{ког.} | (\Delta L_i)^2 | \text{ког.} \rangle \cdot \langle \text{ког.} | (\Delta L_k)^2 | \text{ког.} \rangle \geq \\ & \langle \text{ког.} | \Delta L_i \Delta L_k | \text{ког.} \rangle^2. \end{aligned} \quad /31/$$

Легко увидеть, что

$$\begin{aligned} & |\langle \text{ког.} | \Delta L_i \Delta L_k | \text{ког.} \rangle|^2 = \frac{1}{4} |\langle \text{ког.} | [L_i, L_k] | \text{ког.} \rangle|^2 + \\ & + \frac{1}{4} \left| \frac{1}{2} \langle \text{ког.} | L_i L_k + L_k L_i | \text{ког.} \rangle - \right. \\ & \left. - \langle \text{ког.} | L_i | \text{ког.} \rangle \langle \text{ког.} | L_k | \text{ког.} \rangle \right|^2. \end{aligned} \quad /32/$$

Используя свойства /18/ когерентных состояний, из /31/, /32/ получаем:

$$\frac{\langle \text{ког.} | (\Delta L_i)^2 | \text{ког.} \rangle \langle \text{ког.} | (\Delta L_k)^2 | \text{ког.} \rangle}{|\langle \text{ког.} | L_\ell | \text{ког.} \rangle|^2} \geq \frac{1}{4} \quad (i \neq k \neq \ell). \quad /33/$$

Если мы используем конкретные выражения /17/ для средних значений операторов L_i и L_i^2 , то для случая, когда

$$\langle \text{ког.} | L_i | \text{ког.} \rangle = \langle \text{ког.} | L_k | \text{ког.} \rangle = 0$$

$$\langle \text{ког.} | L_\ell | \text{ког.} \rangle = \langle \text{ког.} | \hat{I} | \text{ког.} \rangle,$$

из /33/ следует

$$\frac{\langle \text{ког.} | (\Delta L_i)^2 | \text{ког.} \rangle \langle \text{ког.} | (\Delta L_k)^2 | \text{ког.} \rangle}{|\langle \text{ког.} | L_\ell | \text{ког.} \rangle|^2} = \frac{1}{4}. \quad /34/$$

В общем случае можно показать, что состояние $|xyz\rangle$ минимизирует произведение /31/ для всех компонент вектора углового момента \vec{L} , находящихся в плоскости, перпендикулярной к направлению вектора $\langle xyz | \vec{L} | xyz \rangle$. Это значит, что найденный нами набор когерентных состояний минимизирует флуктуации направления вектора углового момента. Интересно отметить, что для $\langle \text{ког.} | (\Delta \hat{I})^2 | \text{ког.} \rangle$ мы получаем

$$\langle \text{ког.} | (\Delta \hat{I})^2 | \text{ког.} \rangle = \langle \text{ког.} | \hat{I} | \text{ког.} \rangle.$$

Этот результат аналогичен результату для гармонического осциллятора, где

$$\langle a | (\Delta \hat{N})^2 | a \rangle = \langle a | \hat{N} | a \rangle$$

и \hat{N} - оператор числа фононов.

3.2. Переход к уравнению Эйлера для несимметричного волчка

В представлении Гейзенберга уравнение движения для операторов L_i и гамильтониана волчка /6/ имеет следующий вид:

$$\dot{L}_i = i [H, L_i]$$

$$\dot{L}_i = \sum_{kl} (L_l L_k + L_k L_l) \epsilon_{ikl} A_k. \quad /35/$$

Усредняя это уравнение по когерентному состоянию и используя свойство /18/, получаем:

$$\langle \text{ког.} | \dot{L}_i | \text{ког.} \rangle = 2 \sum_{lk} \langle \text{ког.} | L_l | \text{ког.} \rangle \times$$

$$\times \langle \text{ког.} | L_k | \text{ког.} \rangle \epsilon_{ikl} A_k. \quad /36/$$

После определения $\langle \text{ког.} | L_i | \text{ког.} \rangle = \frac{\omega_i}{2A_i}$ уравнение /36/

можно представить следующим образом:

$$\dot{\omega}_x = A_x \omega_y \omega_z \left(\frac{1}{A_y} - \frac{1}{A_z} \right)$$

$$\dot{\omega}_y = A_y \omega_x \omega_z \left(\frac{1}{A_x} - \frac{1}{A_z} \right)$$

$$\dot{\omega}_z = A_z \omega_x \omega_y \left(\frac{1}{A_x} - \frac{1}{A_y} \right). \quad /37/$$

Это как раз уравнение Эйлера для волчка в классической механике.

4. ПРИМЕНЕНИЕ КОГЕРЕНТНЫХ СОСТОЯНИЙ

4.1. Энергия и вероятности переходов в неаксиальном роторе

Поскольку, как показано в разделе 3, когерентные состояния близки по своим свойствам к классическим, можно считать, что состояние $\Psi_{IM} = P^{IM} |xyz\rangle$ является хорошим приближением для волновой функции гамильтониана /6/ при $I \gg 2$. Здесь $P^{IM} = \int d\Omega \hat{R}_J(\Omega) \sum_{MK} D_{MK}^{*I}(\Omega)$ - опе-

ратор проектирования на состояние с полным угловым моментом I . Можно показать, что благодаря проектированию на состояние с определенным значением углового момента и инвариантности гамильтониана /6/ относительно вращения среднее значение гамильтониана зависит только от z .

$$E_I(z) = \frac{\langle \Psi_{IM} | \sum_i A_i L_i^2 | \Psi_{IM} \rangle}{\langle \Psi_{IM} | \Psi_{IM} \rangle}$$

$$= \frac{1}{2} A_x (I(2I-1) \cos^2 \phi \sin^2 \theta + I) +$$

$$+ \frac{1}{2} A_y (I(2I-1) \sin^2 \phi \sin^2 \theta + I) + \frac{1}{2} A_z (I(2I-1) \cos^2 \theta + I),$$

$$(z = -e^{-i\phi} \tan \frac{\theta}{2}). \quad /38/$$

Из условия $\frac{dE_I(z)}{d\phi} = 0$, $\frac{dE_I(z)}{d\theta} = 0$ мы получаем для $\frac{1}{A_x} > \frac{1}{A_y}$, $\frac{1}{A_x} > \frac{1}{A_z}$ $\cos^2 \phi = 1$, $\sin^2 \theta = 1$, т.е. волчок вращается вокруг оси z .

$$E_I = \frac{1}{2} (A_z + A_y) + I^2 A_x;$$

$$\Psi_{IM} = \frac{1}{2^I} \sum_k \sqrt{\frac{(2I)!}{(I-k)!(I+k)!}} |IMk\rangle. \quad /39/$$

Если мы предполагаем, что оператор квадрупольного момента имеет вид:

$$Q_{2\mu} = T_{\mu 0}^2 q_0 + (T_{\mu 2}^2 + T_{\mu -2}^2) q_2,$$

то для приведенных вероятностей E2-переходов получаем:

$$B(E2, I \rightarrow I') = \sum_{\mu M'} |\langle \Psi_{IM} | Q_{2\mu} | \Psi_{IM'} \rangle|^2$$

$$= \begin{cases} \langle \Pi 20 | 10 \rangle^2 \left(\frac{q_0}{2} - \sqrt{\frac{3}{2}} q_2 \right)^2 & \text{если } I = I' \\ 0 & I' = I - 1 \\ (2I - 3)/(2I + 1) \frac{1}{4} \left(\sqrt{\frac{3}{2}} q_0 + q_2 \right)^2 & \text{если } I' = I - 2. \end{cases} \quad /40/$$

Результаты /39/, /40/ совпадают с точностью до флуктуационных колебаний с результатами, полученными в работах /11,12/. Эти члены приближенно можно учесть, используя бозонное представление /27/ операторов углового момента так же как в работе /11/.

4.2. Когерентные состояния и модель принудительного вращения

Исходя из одночастичного гамильтониана

$$H_{Cr.} = H_{sp} - \beta \cos \gamma Q_0 - \frac{\beta}{\sqrt{2}} \sin \gamma (Q_2 + Q_{-2}) - \omega J_i$$

$$(i = x, y, z), \quad /41/$$

можно вычислить полную энергию вращающегося ядра, как это сделано в работе /13/. Функции $E_i(\omega)$ и $f_i(\omega)$, где $E_i(\omega)$ - энергия ядра, вращающегося вокруг оси i с час-

тотой ω , $f_i(\omega)$, среднее значение i -той компоненты оператора углового момента можно считать известными. Среднее значение остальных компонент оператора углового момента равно нулю. Используя бозонное представление Швингера /30/ для компонент оператора \hat{L} во внутренней системе координат, гамильтониан, дающий дискретный спектр вращающегося ядра, инвариантный относительно вращения вокруг главных осей на угол π , можно записать следующим образом:

$$H = h_0 + h_1(a^+a + b^+b) + h_{20}a^+b^+ab + h_{21}(a^+a^+bb + b^+b^+aa) +$$

$$+ h_{22}(a^+a^+aa + b^+b^+bb) + h_{30}(a^+a^+b^+b^+bb + b^+b^+b^+baa +$$

$$+ a^+a^+a^+abb + b^+b^+b^+aaa) + h_{31}(a^+a^+a^+aaa + b^+b^+b^+bbb) + \dots \quad /42/$$

После усреднения этого гамильтониана по когерентным состояниям /11/ мы получаем следующее выражение для энергии состояния ядра, имеющего определенное среднее значение оператора углового момента

$$E(y, \bar{z}) = h_0 + h_1(yy^* + \bar{z}\bar{z}^*) + h_{20}yy^*\bar{z}\bar{z}^* + h_{21}(y^2\bar{z}^{*2} + \bar{z}^2y^{*2}) +$$

$$+ h_{22}(y^2y^{*2} + \bar{z}^2\bar{z}^{*2}) + h_{30}(y^2\bar{z}\bar{z}^{*3} + \bar{z}^3\bar{z}^*y^{*2} +$$

$$+ y^3y^*\bar{z}^{*2} + \bar{z}^2yy^*3) + h_{31}(y^3y^{*3} + \bar{z}^3\bar{z}^{*3}) + \dots$$

$$\langle y\bar{z} | L_x | y\bar{z} \rangle = (\bar{z}y^* + y\bar{z}^*), \quad \langle y\bar{z} | L_y | y\bar{z} \rangle = i(\bar{z}y^* - y\bar{z}^*)$$

$$\langle y\bar{z} | L_z | y\bar{z} \rangle = \bar{z}\bar{z}^* - yy^*. \quad /43/$$

Рассмотрим частные случаи уравнения /43/

$$1. y = \bar{z}, \quad \langle L_x \rangle = \langle yy | L_x | yy \rangle = 2yy^*$$

$$\langle yy | L_y | yy \rangle = \langle yy | L_z | yy \rangle = 0$$

$$E_1 = h_0 + h_1 \langle L_x \rangle + \frac{1}{4} (h_{20} + 2h_{21} + 2h_{22}) \langle L_x \rangle^2 + \frac{1}{4} (2h_{30} + h_{31}) \langle L_x \rangle^3 + \dots \quad /44a/$$

$$2. \mathbf{z} = -iy, \langle L_y \rangle = \langle y, iy | L_y | y, iy \rangle = 2yy^* *$$

$$\langle y, iy | L_x | y, iy \rangle = \langle y, iy | L_z | y, iy \rangle = 0$$

$$E_2 = h_0 + h_1 \langle L_y \rangle + \frac{1}{4} (h_{20} - 2h_{21} + 2h_{22}) \langle L_y \rangle^2 + \frac{1}{4} (h_{31} - 2h_{30}) \langle L_y \rangle^3 + \dots \quad /44б/$$

$$3. y = 0 \quad \langle 0\bar{z} | L_z | 0\bar{z} \rangle = \langle L_z \rangle = z z^* *$$

$$\langle 0\bar{z} | L_x | 0\bar{z} \rangle = \langle 0\bar{z} | L_y | 0\bar{z} \rangle = 0$$

$$E_3 = h_0 + h_1 \langle L_z \rangle + h_{22} \langle L_z \rangle^2 + h_{31} \langle L_z \rangle^3 + \dots \quad /44в/$$

Если мы считаем, что когерентные состояния при достаточно высоком спине являются хорошим приближением для волновой функции ядра, то энергии $E_i(\omega)$ должны совпадать с энергиями /44/, т.е.

$$E_x(\omega) = E_1, \quad f_x(\omega) = \langle L_x \rangle, \quad \langle L_y \rangle = \langle L_z \rangle = 0$$

$$E_y(\omega) = E_2, \quad f_y(\omega) = \langle L_y \rangle, \quad \langle L_x \rangle = \langle L_z \rangle = 0$$

$$E_z(\omega) = E_3, \quad f_z(\omega) = \langle L_z \rangle, \quad \langle L_x \rangle = \langle L_y \rangle = 0 \quad /45/$$

для каждого значения ω . Поэтому, зная $E_i(\omega)$ и $f_i(\omega)$, мы можем из /45/ вычислить коэффициенты $h_{n,m}$ гамильтониана /42/ и после его диагонализации получить полный спектр состояний вращающегося ядра, включая возбуждения, связанные с нутационным движением. Эффективный гамильтониан типа /42/ обсуждался в работе /14/.

5. ЗАКЛЮЧЕНИЕ

В заключение отметим следующий интересный факт. Набор когерентных состояний /11/ содержит состояние с целыми и полуцелыми значениями спина. Таким образом, при исследовании квазиклассических свойств вращающегося ядра мы должны рассматривать четные и нечетные ядра одновременно.

После того как эта работа была закончена, появилась статья /15/, в которой рассматривались аналогичные вопросы. Результаты, полученные в /15/, следуют из результатов настоящей работы, если параметр $z = 0$. Кроме того, в /15/ не рассматривались вопросы, связанные с описанием движения асимметричного волчка.

Автор благодарен И.Н. Михайлову за многочисленные обсуждения вопросов, связанных с теорией когерентных состояний, в результате которых возникла эта работа. Кроме того, он благодарен Р.В. Джолосу, просмотревшему рукопись и сделавшему полезные замечания.

ЛИТЕРАТУРА

1. E.Schrodinger. *Zs. Phys.*, 14, 664 /1926/.
2. R.J.Glauber. *Phys.Rev.*, 130, 2529 /1963/; *Phys.Rev.*, 131, 2766 /1963/.
3. F.W.Cummings, I.R.Johnston. *Phys.Rev.*, 151, 105 /1966/.
4. P.Carruthers, K.S.Dy. *Phys.Rev.*, 147, 214 /1966/.
5. A.M.Perelomov. *Commun. Math. Phys.*, 26, 222 /1972/.
6. I.H.Raddiffe. *J.Phys. A: Gen.Phys.*, 4, 313 /1971/.
7. R.Holtz, I.Hanus. *J.Phys. A: Gen.Phys.*, 7, No. 4 /1974/.
8. E.R.Marshalek. *Phys.Rev. C. Vol. 11, No. 4, 1426 /1975/.*
9. F.J.Dayson. *Phys.Rev.*, 102, 1217 /1956/.
10. I.Schwinger. *In Quantum Theory of Angular Momentum*, ed. by L.C.Biedenharn and N.J.Van Dam (Academic, New York, 1965/.

11. О. Бор, Б. Мотпельсон. Структура атомного ядра. т. 2, М., Мир, 1975.
12. И.Н. Михайлов. Сообщение ОИЯИ, Р4-7862, Дубна, 1974.
13. К. Неергорд, В.В. Пашкевич. Сообщение ОИЯИ, Р4-8947, Дубна, 1975.
14. И.Н. Михайлов, Е.Н. Наджаков, Д. Караджов. ЭЧАЯ, т. 4, вып. 2 /1973/.
15. D. Baumik, T. Nag, B. Dutta-Roy. Journal of Physics A., vol. 8, No. 12 /1975/.

Рукопись поступила в издательский отдел
17 февраля 1976 года.